
INF 2310 – Digital bildebehandling

FILTRERING I BILDE-DOMENET - II

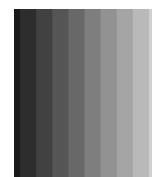
Gradient-detektorer
Laplace-operatorer
LoG-operatoren
Canny-operatoren
GW Kap. 3.6 + Kap 10-10.2.7

INF 2310

1

Forrige uke: lavpass-filtre

- Slipper gjennom lave frekvenser.
- Glatte bildet og fjerner skarpe kanter/overganger.
- Konvolusjonsfiltre:
 - Middelveidifiltre
 - Gaussisk lavpass.



Original



5x5 middelveid

INF 2310

2

Høypass-filtre

- Slipper gjennom høye frekvenser.
- Demper eller fjerner lav-frekvente variasjoner.
- Effekt:
 - Fjerner langsomt varierende bakgrunn.
 - Framhever kanter, linjer og skarpe detaljer.

INF 2310

3

Høypass-filtre

- Et høypass-filter må ha positive vektorer i midten, og negative vektorer lenger ut. Et eksempel:

$$\begin{bmatrix} -1 & -1 & -1 \\ -1 & 8 & -1 \\ -1 & -1 & -1 \end{bmatrix}$$

- Vi lar summen av vektene være null.
 - Hvorfor er dette lurt?
- Hvis vi lar middelveidien av ut-bildet bli null, må noen deler av ut-bildet være <0 .
- Det er ingen god ide å benytte $|g(x,y)|$.
- For framvisning, skaler $g(x,y)$ og legg til en konstant slik at vi får positive pikselverdier.

INF 2310

4

En liten test på konvolusjon

- Bildet:

$$\begin{bmatrix} 1 & 1 & 1 & 1 & 2 & 2 & 2 \\ 1 & 1 & 1 & 1 & 2 & 2 & 2 \\ 1 & 1 & 1 & 1 & 2 & 2 & 2 \\ 1 & 1 & 1 & 1 & 2 & 2 & 2 \\ 1 & 1 & 1 & 1 & 2 & 2 & 2 \\ 1 & 1 & 1 & 1 & 2 & 2 & 2 \\ 1 & 1 & 1 & 1 & 2 & 2 & 2 \end{bmatrix}$$

Hva blir resultatet når filterkjernen
Plasseres rundt piksel:

1 (rødt)
2 (blått)
3 (grønt)

- Filter:

$$\begin{bmatrix} -1 & -1 & -1 \\ -1 & 8 & -1 \\ -1 & -1 & -1 \end{bmatrix}$$

INF 2310

5

Punkt-deteksjon

- Anta at vi benytter en konvolusjonsmaske med vektor w_i gitt ved:

$$g(x,y) = \sum_{i=1}^3 w_i f_i$$

der f_i er den gråtone-verdi vi finner under maske-verdien w_i .

- Et punkt (i,j) avviker fra sine omgivelser dersom

$$|g(i,j)| > T$$

der $T > 0$ er en terskel.

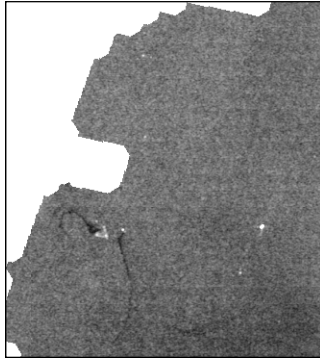
- Merk: samme maske som høypass-filtering, men nå bruker vi terskel T for å finne punkter som avviker tilstrekkelig fra omgivelsene.
- Hva får vi i homogene områder?
- Hva med en hellende gråtone-flate (for eksempel gradvis økende gråtone fra venstre mot høyre i bildet)?

INF 2310

6

Eksempel: punkt-deteksjon

- Deteksjon av skip i radar-bilder over sjø.



$$\begin{bmatrix} -1 & -1 & -1 & -1 & -1 & -1 & -1 \\ -1 & -1 & -1 & -1 & -1 & -1 & -1 \\ -1 & -1 & 4 & 4 & 4 & -1 & -1 \\ -1 & -1 & 4 & 8 & 4 & -1 & -1 \\ -1 & -1 & 4 & 4 & 4 & -1 & -1 \\ -1 & -1 & -1 & -1 & -1 & -1 & -1 \\ -1 & -1 & -1 & -1 & -1 & -1 & -1 \end{bmatrix}$$

Gir størst respons for de små lyse objektene (skipene).

Symmetrisk filter ->
Det vi gjør kan ses på som en korrelasjon

INF 2310

7

"High-boost"-filtre

- Høypass-filtrering kan utføres ved
Høypass=Original-Lavpass

$$\begin{bmatrix} -1 & -1 & -1 \\ -1 & 8 & -1 \\ -1 & -1 & -1 \end{bmatrix} = \begin{bmatrix} 0 & 0 & 0 \\ 0 & 9 & 0 \\ 0 & 0 & 0 \end{bmatrix} - \begin{bmatrix} 1 & 1 & 1 \\ 1 & 1 & 1 \\ 1 & 1 & 1 \end{bmatrix}$$

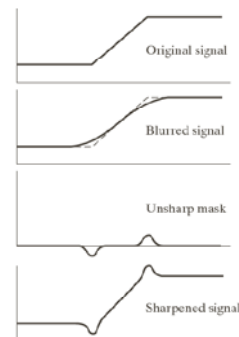
- Hvis vi adderer et høypass-bilde til original-bildet, får vi et "High-boost" bilde

$$\begin{bmatrix} -1 & -1 & -1 \\ -1 & 8 & -1 \\ -1 & -1 & -1 \end{bmatrix} + \begin{bmatrix} 0 & 0 & 0 \\ 0 & 1 & 0 \\ 0 & 0 & 0 \end{bmatrix} = \begin{bmatrix} -1 & -1 & -1 \\ -1 & 9 & -1 \\ -1 & -1 & -1 \end{bmatrix}$$

- Vekter vi de to bildene, får vi generelt

$$\begin{bmatrix} -1 & -1 & -1 \\ -1 & c & -1 \\ -1 & -1 & -1 \end{bmatrix}$$

- Dette gjøres i øyet vårt, og i diverse elektronikk.

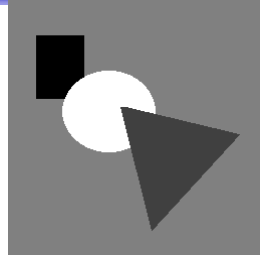


INF 2310

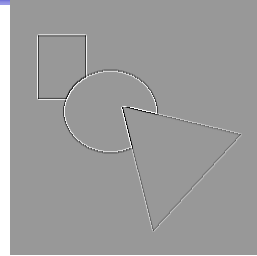
8

High-pass vs. high boost

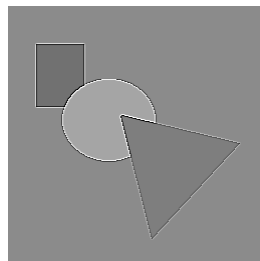
Original



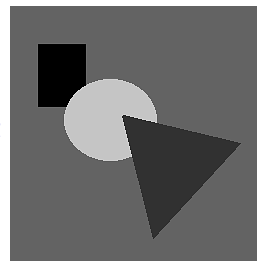
High pass



High boost
c=9



High boost
c=30



INF 2310

9

Motivasjon for kant-deteksjon

- Repeterte fenomener i en sekvens bringer oss lite informasjon.
- Vi vet at dette utnyttes i kommunikasjon og i bilde-kompresjon.
- Det meste av informasjonen i et bilde finnes ved kantene til objektene/regionene i bildet.
- "Kanter" brukes her om intensitets-kanter, farge-kanter, tekstur-kanter etc.
- Biologiske visuelle systemer er basert på kant-deteksjon, ikke på f.eks. terskling.
- Slike systemer arbeider ofte både parallelt og sekvensielt:
 - Alle lokale omgivelser behandles uavhengig av hverandre (i parallell).
 - Lokale resultat kan være avhengig av tidligere resultater.

INF 2310

10

Digitale gradient-operatorer

- Vi husker at den deriverte av $f(x)$ er gitt ved

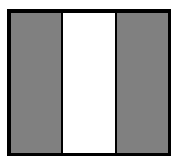
$$\lim_{h \rightarrow 0} \frac{f(x+h) - f(x)}{h}$$

- I våre digitale bilder setter vi $h \geq 1$.
- Vi får en ide om at pikseldifferanser i en retning kan si noe om gradienten. Mer om dette straks.
- Vi får da en gruppe av operator som approksimerer de ortogonale gradient-komponentene $\delta F(x,y)/\delta x$ og $\delta F(x,y)/\delta y$
- Noen operatorer gir bare estimat av gradient-magnituden (kantstyrken).
- Andre gir også gradient-retningen.
- Gitt to digitale masker H_x og H_y . Disse to konvolveres med bildet $F(i,j)$ og måler gradient komponentene g_x og g_y i en omegn om (i,j) i bildet.

INF 2310

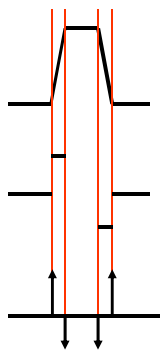
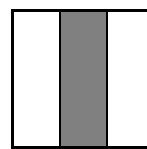
11

Illustrasjon av kant-deteksjon



Lyst objekt på
mørk bakgrunn

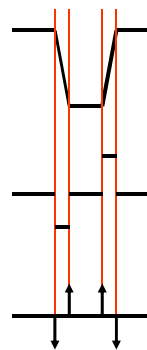
Mørkt objekt på
lys bakgrunn



Profil for horisontal linje

Den deriverte av kurven

Den andre-deriverte



INF 2310

12

Gradient i kontinuerlig bilde

- Gradienten til F langs r i retning θ

$$\frac{\partial F}{\partial r} = \frac{\partial F}{\partial x} \frac{\partial x}{\partial r} + \frac{\partial F}{\partial y} \frac{\partial y}{\partial r}$$

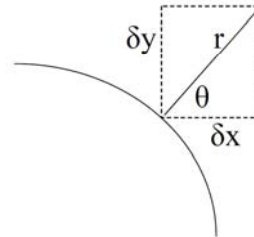
dvs.
$$\frac{\partial F}{\partial r} = \frac{\partial F}{\partial x} \cos \theta + \frac{\partial F}{\partial y} \sin \theta$$

- Gradienten er størst når $\frac{\partial}{\partial \theta} \left(\frac{\partial F}{\partial r} \right) = 0$

- Dvs. for den vinkelen θ_g der

$$-\frac{\partial F}{\partial x} \sin \theta_g + \frac{\partial F}{\partial y} \cos \theta_g = 0 \Leftrightarrow \frac{\partial F}{\partial y} \cos \theta_g = \frac{\partial F}{\partial x} \sin \theta_g$$

- Men $\delta F / \delta x$ og $\delta F / \delta y$ er bare de ortogonale gradient-komponentene i x- og y-retning i bildet.



INF 2310

13

Gradient i kontinuerlig bilde - II

- Vi gjentar: Gradienten er størst for den vinkelen θ_g der

$$\frac{\partial F}{\partial y} \cos \theta_g = \frac{\partial F}{\partial x} \sin \theta_g$$

- Dvs. når
$$\frac{g_y}{g_x} = \frac{\sin \theta_g}{\cos \theta_g} = \tan \theta_g$$

- Derfor: Retningen til kanten relativt til x-aksen er gitt ved

$$\theta_g = \tan^{-1} \left(\frac{g_y}{g_x} \right)$$

- Og gradient-magnituden er gitt ved roten av summen av kvadratene av de to gradient-komponentene:

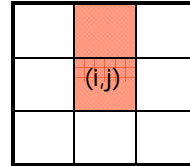
$$\left(\frac{\partial F}{\partial r} \right)_{\max} = [g_x^2 + g_y^2]^{1/2}$$

INF 2310

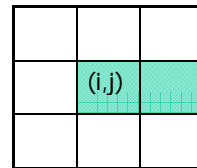
14

Digitale gradient-approksimasjoner

- Asymmetrisk 1D-operator:
 Kolonne: $G_y(x,y)=F(x,y)-F(x,y-1)$
 Rad: $G_x(x,y)=F(x,y)-F(x+1,y)$



- Definisjonene er gitt slik at komponentene er positive for en kant der intensiteten øker fra venstre mot høyre og nedenfra og oppover i bildet.

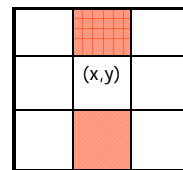
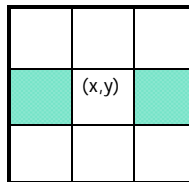


INF 2310

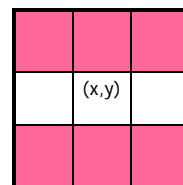
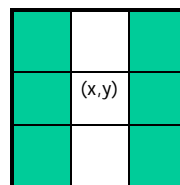
15

Digitale gradient-approksimasjoner

- Symmetrisk 1D-operator:
 $G_y(x,y)=F(x,y+1)-F(x,y-1)$
 $G_x(i,j)=F(x-1,y)-F(x+1,y)$



- Gradient-estimatene refererer nå til punktet (x,y) .
- Problem: operatoren er veldig følsom for støy.
- Løsning: lavpassfilter i motsatt retning.



INF 2310

16

Gradient-operatorer

- "Pixel difference"

$$H_x(i, j) = \begin{bmatrix} 0 & 0 & 0 \\ 0 & 1 & -1 \\ 0 & 0 & 0 \end{bmatrix} H_y(i, j) = \begin{bmatrix} 0 & -1 & 0 \\ 0 & 1 & 0 \\ 0 & 0 & 0 \end{bmatrix}$$

- "Separated pixel difference"

$$H_x(i, j) = \begin{bmatrix} 0 & 0 & 0 \\ 1 & 0 & -1 \\ 0 & 0 & 0 \end{bmatrix} H_y(i, j) = \begin{bmatrix} 0 & -1 & 0 \\ 0 & 0 & 0 \\ 0 & 1 & 0 \end{bmatrix}$$

- Roberts-operatoren

$$H_x(i, j) = \begin{bmatrix} 0 & 0 & -1 \\ 0 & 1 & 0 \\ 0 & 0 & 0 \end{bmatrix} H_y(i, j) = \begin{bmatrix} -1 & 0 & 0 \\ 0 & 1 & 0 \\ 0 & 0 & 0 \end{bmatrix}$$

INF 2310

17

Gradient-operatorer

- Prewitt-operatoren

$$H_x(i, j) = \begin{bmatrix} 1 & 0 & -1 \\ 1 & 0 & -1 \\ 1 & 0 & -1 \end{bmatrix} H_y(i, j) = \begin{bmatrix} -1 & -1 & -1 \\ 0 & 0 & 0 \\ 1 & 1 & 1 \end{bmatrix}$$

- Sobel-operatoren

$$H_x(i, j) = \begin{bmatrix} 1 & 0 & -1 \\ 2 & 0 & -2 \\ 1 & 0 & -1 \end{bmatrix} H_y(i, j) = \begin{bmatrix} -1 & -2 & -1 \\ 0 & 0 & 0 \\ 1 & 2 & 1 \end{bmatrix}$$

- Frei-Chen-operatoren

$$H_x(i, j) = \begin{bmatrix} 1 & 0 & -1 \\ \sqrt{2} & 0 & -\sqrt{2} \\ 1 & 0 & -1 \end{bmatrix} H_y(i, j) = \begin{bmatrix} -1 & -\sqrt{2} & -1 \\ 0 & 0 & 0 \\ 1 & \sqrt{2} & 1 \end{bmatrix}$$

INF 2310

18

Forskjellen på G_x , G_y og gradient-operatoren

- For å finne horisontale kanter:
 - Beregn delresultatet $g_x(x,y)=H_x*f(x,y)$
 - Dvs. konvolver bildet med den horisontale filterkjernen H_x
- For å finne vertikale kanter:
 - Beregn delresultatet $g_y(x,y)=H_y*f(x,y)$
 - Dvs. konvolver bildet med den vertikale filterkjernen H_y
- Beregn så gradientoperatoren ved:

$$g(x,y) = \sqrt{g_x^2(x,y) + g_y^2(x,y)}$$

Gradient-magnitude (kant-styrke)

$$\theta(x,y) = \tan^{-1}\left(\frac{g_y(x,y)}{g_x(x,y)}\right)$$

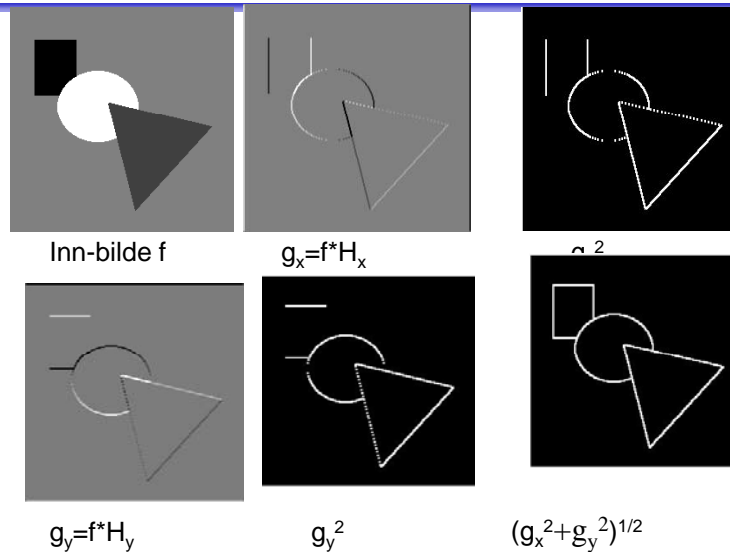
Gradient-retning
- Alternativt kan absoluttverdien brukes: $g(x,y) = |g_x(x,y)| + |g_y(x,y)|$
- Dette gjelder for alle operatorene (Sobel, Prewitt, Frei-Chen etc..)

INF 2310

19

Eksempel - Sobel

Vær obs på skalering av g_x og g_y i denne figuren (feks negative verdier)
Prøv selv i Matlab ©



INF 2310

20

Symmetriske gradient-operatorer

- Operatoren gjøres mindre følsom for støy ved å midle i en retning og derivere i den ortogonale retningen.
- Eksempler: **Prewitt, Sobel, Frei-Chen**
- Frei-Chen gir samme gradient om kanten ligger langs aksene eller diagonalt.
- Prewitt er mer følsom for horisontale og vertikale enn for diagonale kanter.
- Det motsatte er tilfelle for Sobel.
- Prewitt-operatoren glatter ikke ut støy like effektivt som Sobel-operatoren.
- Større masker gir mindre støy-følsomhet.
- Alle de tre nevnte operatene er separable.

INF 2310

21

Separasjon av gradient-filtre

- Separasjon av Prewitt-operatoren:

$$h_x = \begin{bmatrix} 1 & 0 & -1 \\ 1 & 0 & -1 \\ 1 & 0 & -1 \end{bmatrix} = [1 \ 0 \ -1] * \begin{bmatrix} 1 \\ 1 \\ 1 \end{bmatrix}, \quad h_y = \begin{bmatrix} -1 & -1 & -1 \\ 0 & 0 & 0 \\ 1 & 1 & 1 \end{bmatrix} = \begin{bmatrix} -1 \\ 0 \\ 1 \end{bmatrix} * [1 \ 1 \ 1]$$

- Separasjon av Sobel-operatoren:

$$h_x = \begin{bmatrix} 1 & 0 & -1 \\ 2 & 0 & -2 \\ 1 & 0 & -1 \end{bmatrix} = [1 \ 0 \ -1] * \begin{bmatrix} 1 \\ 2 \\ 1 \end{bmatrix}, \quad h_y = \begin{bmatrix} -1 & -2 & -1 \\ 0 & 0 & 0 \\ 1 & 2 & 1 \end{bmatrix} = \begin{bmatrix} -1 \\ 0 \\ 1 \end{bmatrix} * [1 \ 2 \ 1]$$

- Separasjon av Frei-Chen:

$$h_x = \begin{bmatrix} 1 & 0 & -1 \\ \sqrt{2} & 0 & -\sqrt{2} \\ 1 & 0 & -1 \end{bmatrix} = [1 \ 0 \ -1] * \begin{bmatrix} 1 \\ \sqrt{2} \\ 1 \end{bmatrix}, \quad h_y = \begin{bmatrix} -1 & -\sqrt{2} & -1 \\ 0 & 0 & 0 \\ 1 & \sqrt{2} & 1 \end{bmatrix} = \begin{bmatrix} -1 \\ 0 \\ 1 \end{bmatrix} * [1 \ \sqrt{2} \ 1]$$

INF 2310

22

Implementasjon av en gradient-operator

- Større filtre gir mindre følsomhet for støy.
- Sobel (og de andre operatorene) kan utvides til større enn 3×3 .
- Her er en 5×5 Sobel operator:

$$h_x = \begin{bmatrix} 1 & 2 & 0 & -2 & -1 \\ 4 & 8 & 0 & -8 & -4 \\ 6 & 12 & 0 & -12 & -6 \\ 4 & 8 & 0 & -8 & -4 \\ 1 & 2 & 0 & -2 & -1 \end{bmatrix} \quad h_y = \begin{bmatrix} -1 & -4 & -6 & -4 & -1 \\ -2 & -8 & -12 & -8 & -2 \\ 0 & 0 & 0 & 0 & 0 \\ 2 & 8 & 12 & 8 & 2 \\ 1 & 4 & 6 & 4 & 1 \end{bmatrix}$$

Krever 50
multiplikasjoner

- Denne kan implementeres som

$$h_x = \begin{bmatrix} 1 & 0 & -1 \\ 2 & 0 & -2 \\ 1 & 0 & -1 \end{bmatrix} * \begin{bmatrix} 1 & 2 & 1 \\ 2 & 4 & 2 \\ 1 & 2 & 1 \end{bmatrix} \quad h_y = \begin{bmatrix} -1 & -2 & -1 \\ 0 & 0 & 0 \\ 1 & 2 & 1 \end{bmatrix} * \begin{bmatrix} 1 & 2 & 1 \\ 2 & 4 & 2 \\ 1 & 2 & 1 \end{bmatrix}$$

Krever 36
multiplikasjoner

INF 2310

23

Mer om implementasjon

- De to 3×3 filtrene er separable, og kan skrives

$$h_x = \begin{bmatrix} 1 & 0 & -1 \\ 2 & 0 & -2 \\ 1 & 0 & -1 \end{bmatrix} * \begin{bmatrix} 1 \\ 2 \\ 1 \end{bmatrix} \quad h_y = \begin{bmatrix} -1 & -2 & -1 \\ 0 & 0 & 0 \\ 1 & 2 & 1 \end{bmatrix} * \begin{bmatrix} 1 \\ 2 \\ 1 \end{bmatrix}$$

Krever 24
multiplikasjoner

- Eller vi kan skrive

$$h_x = \begin{bmatrix} 1 & 1 \\ 1 & -1 \end{bmatrix} * \begin{bmatrix} 1 \\ 1 \end{bmatrix} * \begin{bmatrix} 1 \\ 1 \end{bmatrix} * \begin{bmatrix} 1 \\ 1 \end{bmatrix} * \begin{bmatrix} 1 \\ 1 \end{bmatrix}$$

Krever 32
multiplikasjoner

$$h_y = \begin{bmatrix} 1 & 1 \\ 1 & 1 \end{bmatrix} * \begin{bmatrix} 1 \\ -1 \end{bmatrix} * \begin{bmatrix} 1 \\ 1 \end{bmatrix} * \begin{bmatrix} 1 \\ 1 \end{bmatrix} * \begin{bmatrix} 1 \\ 1 \end{bmatrix}$$

- Raskeste blir

$$h_x = \begin{bmatrix} 1 & 2 & 0 & -2 & -1 \\ 4 & 8 & 0 & -8 & -4 \\ 6 & 12 & 0 & -12 & -6 \\ 4 & 8 & 0 & -8 & -4 \\ 1 & 2 & 0 & -2 & -1 \end{bmatrix} * \begin{bmatrix} 1 \\ 2 \\ 1 \end{bmatrix} \quad h_y = \begin{bmatrix} -1 & -2 & -1 \\ 0 & 0 & 0 \\ 1 & 2 & 1 \end{bmatrix} * \begin{bmatrix} 1 \\ 2 \\ 1 \end{bmatrix}$$

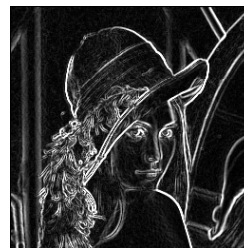
Krever bare 20
multiplikasjoner

INF 2310

24

Om bruk av gradient-operatorer

- Kantene blir "brede"
 - Hvor bred avhenger av filterkjernen
- Hvordan skal vi finne eksakt hvor kanten går?
 - Terskle kantbildet?
 - Finn maksimum i derivert?
 - Bruke 2. derivert?



INF 2310

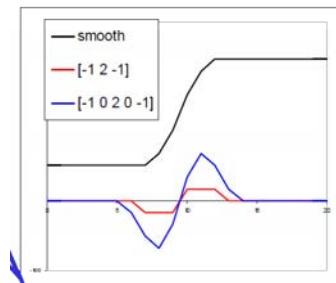
25

Laplace-operatoren

- Laplace-operatoren er definert ved:

$$\nabla^2(f(x, y)) = \frac{\partial^2 f}{\partial x^2} + \frac{\partial^2 f}{\partial y^2}$$

- Den endrer fortegn der $f(x, y)$ har et infleksjons-punkt/vendepunkt.
- Den gir ikke brede kanter.
- Vi finner bare magnitude, ikke retning.
- Merk at $|\nabla^2 f|$ har to ekstremverdier idet vi passerer en kant, mens $\nabla^2 f = 0$ markerer nøyaktig kant-posisjon.
- Kantens eksakte posisjon finnes altså ved nullgjennomgangen.



INF 2310

26

1D Laplace-operator

	Kontinuerlig	Digitalt
• I 1D er $\nabla^2 f$ ekvivalent med 2. deriverte	$f(x)$	$f(i)$
• Av symmetri-hensyn flytter vi operatoren slik at den er sentrert om i .	$f(x)$	$f(i)-f(i-1)$
• Dessuten bytter vi fortegn: $\nabla^2 f = -f(i-1) + 2f(i) - f(i+1)$	$f''(x) = \nabla^2 f$	$f'(i) - f'(i-1) =$ $[f(i) - f(i-1)]$ $- [f(i-1) - f(i-2)]$ $= f(i-2) - 2f(i-1) + f(i)$

INF 2310

27

2D Laplace operator

- Anvender 1D Laplace i begge retninger og summerer:

$$\begin{aligned} \nabla^2(f(x, y)) &= \frac{\partial^2 f}{\partial x^2} + \frac{\partial^2 f}{\partial y^2} \\ &\approx -f(i-1, j) + 2f(i, j) - f(i+1, j) \\ &\quad - f(i, j-1) + 2f(i, j) - f(i, j+1) \end{aligned}$$

- Dette får vi ved å konvolvare $f(i, j)$ med

$$\begin{bmatrix} 0 & -1 & 0 \\ -1 & 4 & -1 \\ 0 & -1 & 0 \end{bmatrix}$$

F1 14.2.06

INF 2310

28

Flere Laplace-operatorer

- Merk at Laplace-operatorene kan uttrykkes som senter-verdi minus et (veiet) middel over et lokalt naboskap.

- 1D $\nabla^2 f(i) = -f(i-1, j) + 2f(i, j) - f(i+1, j) = 3f(i) - \sum_{j=i-1}^{i+1} f(j)$

- 2D "pluss" $\begin{bmatrix} 0 & -1 & 0 \\ -1 & 4 & -1 \\ 0 & -1 & 0 \end{bmatrix} = \begin{bmatrix} 0 & 0 & 0 \\ 0 & 5 & 0 \\ 0 & 0 & 0 \end{bmatrix} - \begin{bmatrix} 0 & 1 & 0 \\ 1 & 1 & 1 \\ 0 & 1 & 0 \end{bmatrix}$

- 2D "kvadrat" $\begin{bmatrix} -1 & -1 & -1 \\ -1 & 8 & -1 \\ -1 & -1 & -1 \end{bmatrix} = \begin{bmatrix} 0 & 0 & 0 \\ 0 & 9 & 0 \\ 0 & 0 & 0 \end{bmatrix} - \begin{bmatrix} 1 & 1 & 1 \\ 1 & 1 & 1 \\ 1 & 1 & 1 \end{bmatrix}$

INF 2310

29

Laplace vs. Sobel



Sobel-filtrert



Laplace-filtrert

INF 2310

30

Implementasjon av en 5x5 Laplace-operator

- Laplace-operatoren

$$\nabla^2 = - \begin{bmatrix} 2 & 4 & 4 & 4 & 2 \\ 4 & 0 & -8 & 0 & 4 \\ 4 & -8 & -24 & -8 & 4 \\ 4 & 0 & -8 & 0 & 4 \\ 2 & 4 & 4 & 4 & 2 \end{bmatrix}$$

Krever 2x25 operasjoner

er ikke separabel.

- Men den kan skrives som

$$\nabla^2 = - \left(\begin{bmatrix} 1 & 0 & -2 & 0 & 1 \\ 4 & 0 & -8 & 0 & 4 \\ 6 & 0 & -12 & 0 & 6 \\ 4 & 0 & -8 & 0 & 4 \\ 1 & 0 & -2 & 0 & 1 \end{bmatrix} + \begin{bmatrix} 1 & 4 & 6 & 4 & 1 \\ 0 & 0 & 0 & 0 & 0 \\ -2 & -8 & -12 & -8 & -2 \\ 0 & 0 & 0 & 0 & 0 \\ 1 & 4 & 6 & 4 & 1 \end{bmatrix} \right)$$

Vi ser at

$$\nabla^2 = \frac{\partial^2 f}{\partial x^2} + \frac{\partial^2 f}{\partial y^2}$$

kan finnes ved 2 ganger derivasjon med Sobel - filtrene

som igjen kan skrives som

$$\nabla^2 = - \left(\begin{bmatrix} 1 & 0 & -1 \\ 2 & 0 & -2 \\ 1 & 0 & -1 \end{bmatrix} \begin{bmatrix} 1 & 0 & -1 \\ 2 & 0 & -2 \\ 1 & 0 & -1 \end{bmatrix} + \begin{bmatrix} -1 & -2 & -1 \\ 0 & 0 & 0 \\ 1 & 2 & 1 \end{bmatrix} \begin{bmatrix} -1 & -2 & -1 \\ 0 & 0 & 0 \\ 1 & 2 & 1 \end{bmatrix} \right)$$

- Separasjon gir den raskeste implementasjonen: Krever 2x20 operasjoner

$$\nabla^2 = - \left([1 \ 0 \ -2 \ 0 \ 1] * [1 \ 4 \ 6 \ 4 \ 1]^T + [1 \ 4 \ 6 \ 4 \ 1] * [1 \ 0 \ -2 \ 0 \ 1]^T \right)$$

INF 2310

31

Fra Laplace til LoG

- Vi gjorde gradient-operatorene støy-robuste
 - ved å bygge inn en lavpassfiltrering. Eksempel: Sobel-operator

$$h_x = \begin{bmatrix} 1 & 0 & -1 \\ 2 & 0 & -2 \\ 1 & 0 & -1 \end{bmatrix} = [1 \ 0 \ -1] * \begin{bmatrix} 1 \\ 2 \\ 1 \end{bmatrix}, \quad h_y = \begin{bmatrix} -1 & -2 & -1 \\ 0 & 0 & 0 \\ 1 & 2 & 1 \end{bmatrix} = \begin{bmatrix} -1 \\ 0 \\ 1 \end{bmatrix} * [1 \ 2 \ 1]$$

- Vi kan gjøre det samme med Laplace-operatoren

- Vi bruker et Gauss-filter G
- Og siden konvolusjon er kommutativ, får vi

$$\nabla^2 * (f * G) = (\nabla^2 * G) * f = LoG * f$$

- Der "LoG" er resultatet av å anvende Laplace-operatoren på en Gauss-funksjon.

INF 2310

32

LoG = $-\nabla^2 G$

- Gauss-funksjonen i 2D er gitt som:

$$G(x, y) = \frac{1}{2\pi\sigma^2} e^{-\frac{(x^2+y^2)}{2\sigma^2}}$$

- Vi deriverer denne:

$$\frac{\partial G}{\partial x} = -\frac{1}{2\pi\sigma^4} \left[x e^{-\frac{(x^2+y^2)}{2\sigma^2}} \right]$$

$$\frac{\partial^2 G}{\partial x^2} = -\frac{1}{2\pi\sigma^4} \left(1 - \frac{x^2}{\sigma^2} \right) e^{-\frac{(x^2+y^2)}{2\sigma^2}}$$

Og tilsvarende får vi:

$$\frac{\partial^2 G}{\partial y^2} = -\frac{1}{2\pi\sigma^4} \left(1 - \frac{y^2}{\sigma^2} \right) e^{-\frac{(x^2+y^2)}{2\sigma^2}}$$

og summen av disse gir oss

$$-\nabla^2 G = \frac{1}{2\pi\sigma^4} \left(2 - \frac{x^2 + y^2}{\sigma^2} \right) e^{-\frac{(x^2+y^2)}{2\sigma^2}}$$

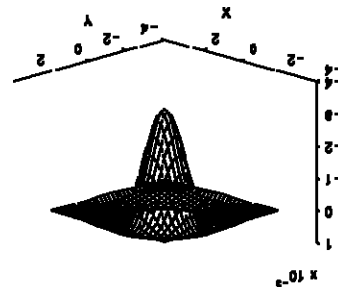
INF 2310

33

Laplacian-of-Gaussian (LoG)

$$-\nabla^2 G = \frac{1}{2\pi\sigma^4} \left(2 - \frac{x^2 + y^2}{\sigma^2} \right) e^{-\frac{(x^2+y^2)}{2\sigma^2}}$$

- σ er standard-avviket til $G(x, y)$
- $w = 2\sqrt{2} \sigma$ er bredden av den positive toppen til LoG-operatoren.
- I de fleste tilfeller er størrelsen av operatoren $\approx 3w \approx 8.5\sigma$



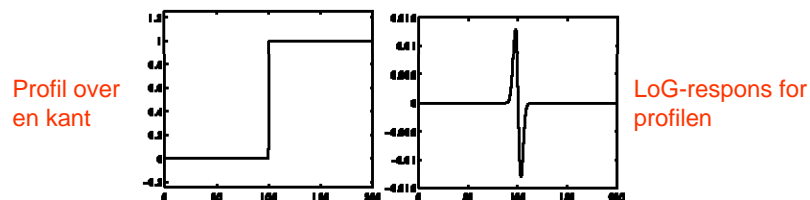
LoG

INF 2310

34

Bruk av LoG

- Laplace-operatoren (uten Gauss-en) detekterer kanter, men også støy i bildet.
- Ofte må man glatte støy før Laplace-utføres
- LoG-operatoren gjør begge disse operasjonene i ett.
- I homogene områder vil LoG-operatoren gi respons 0.
- Den vil ha et positivt utslag på den ene siden av kanten, 0 i selve kanten, og et negativt utslag på den andre siden.



INF 2310

35

Et 7x7 LoG-filter

$$\text{LoG}_{7 \times 7} = -\nabla_{5 \times 5}^2 * G_{3 \times 3} = \begin{bmatrix} -2 & -8 & -14 & -16 & -14 & -8 & -2 \\ -8 & -24 & -24 & -16 & -24 & -24 & -8 \\ -14 & -24 & 30 & 80 & 30 & -24 & -14 \\ -16 & -16 & 80 & 160 & 80 & -16 & -16 \\ -14 & -24 & 30 & 80 & 30 & -24 & -14 \\ -8 & -24 & -24 & -16 & -24 & -24 & -8 \\ -2 & -8 & -14 & -16 & -14 & -8 & -2 \end{bmatrix}$$

- Dette kan splittes opp i

$$-\nabla_{5 \times 5}^2 = [1 \ 4 \ 6 \ 4 \ 1] * [1 \ 0 \ -2 \ 0 \ 1]^T + [1 \ 4 \ 6 \ 4 \ 1]^T * [1 \ 0 \ -2 \ 0 \ 1]$$

og

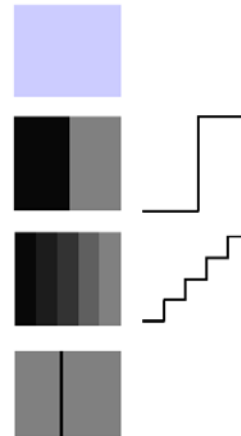
$$G_{3 \times 3} = [1 \ 2 \ 1] * [1 \ 2 \ 1]^T$$

INF 2310

36

Flater, kanter og linjer

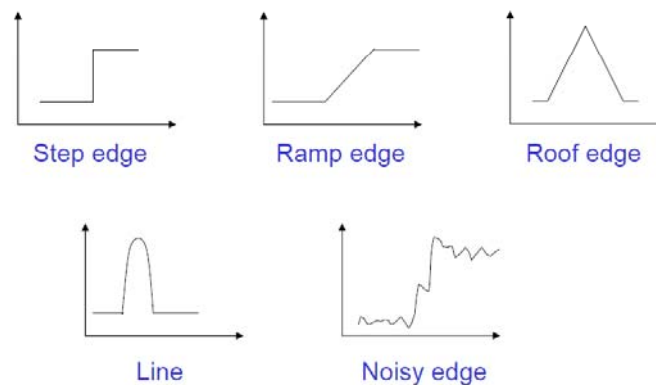
- En **homogen flate** er et område der alle pikselverdiene er omtrent like.
- En **kant** definerer vi som overgangen mellom to områder med forskjellig middelvei.
 - Kanten er første piksel innenfor overgangen.
- En **rampe** er et område der gradienten er konstant.
 - Kanten er første piksel innenfor midtpunktet på rampen.
- Merk at en **linje** består av **to** kanter.



INF 2310

37

Kant-typer

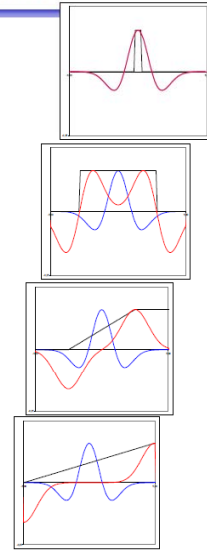


INF 2310

38

Legg merke til at ...

- En struktur som er smalere enn LoG-kjernen, gir to nullgjennomganger.
- Kjernen bestemmer avstanden mellom dem.
- Hvis strukturen er bredere enn kjernen, men smalere enn filteret, blir kantene riktig detektert.
- På en rampe som er bredere enn kjernen, men smalere enn filteret, finner LoG en nullgjennomgang midt på.
- På ramper som er bredere enn filteret, finner ikke LoG noen nullgjennomgang, bare et null-platå.



INF 2310

39

Oppsummering

- Vi har utledet enkle kant-deteksjonsoperatører.
- Gradient-operatorene inneholder en kombinasjon av glatting i den ene retningen og kantdeteksjon i den andre.
- Gradient-operatører gir kant-styrke og retning.
- Laplace-operatoren gir presis lokalisering av kanten, men forsterker støy.
- LoG-operatoren er et mer robust versjon av Laplace som inkluderer glatting.
 - Filterets størrelse må passe til oppgaven.

INF 2310

40